

## 인과립구 콜로니 자극인자 제제인 HM10411와 필그라스팀의 정맥, 근육 및 피하 주사시 흰쥐와 마우스에서의 약물 동태

김인화 · 이상훈\* · 김영민\* · 정성엽\* · 권세창\* · 이관순\* · 정석재 · 심창구†

서울대학교 약학대학 종합약학 연구소, \*한미약품공업주식회사

(2001년 3월 27일 접수)

### Pharmacokinetics of Recombinant Human Granulocyte Colony Stimulating Factor (rhG-CSF) Following Intravenous, Intramuscular and Subcutaneous Administration of HM10411 and Filgrastim to Rats and Mice

In Wha Kim, Sang Hoon Lee\*, Young Min Kim\*, Sung Youb Jung\*, Se Chang Kwon\*,  
Suk Jae Chung and Chang-Koo Shim†

Research Institute of Pharmaceutical Sciences, College of Pharmacy, Seoul National University, Seoul 151-742, Korea,

\*Central Research Institute, Hanmi Pharm. Co. Ltd., Sungnam, Kyonggi-do 463-400, Korea

(Received March 27, 2001)

**ABSTRACT**—The pharmacokinetics of recombinant human granulocyte colony stimulating factor (rhG-CSF) following intravenous (i.v.), intramuscular (i.m.) and subcutaneous (s.c.) administration of HM10411-lyo and HM10411-liq (lyophilized and liquid formulations of rhG-CSF, recently under development by Hanmi Pharmaceutical Company) were studied in rats, and compared with that of Filgrastim (conventional formulation of rhG-CSF on market). The plasma concentration of rhG-CSF was quantified using a specific ELISA. The pharmacokinetic parameters of rhG-CSF, after i.v., i.m. and s.c. administration of Filgrastim, HM10411-lyo and HM10411-liq to rats at a rhG-CSF dose of 10 µg/kg, were almost identical among the three formulations. No dose-dependency was observed in the pharmacokinetic parameters of rhG-CSF following i.v. administration in the dose range of 5~100 µg/kg. rhG-CSF, after i.v. administration of the three preparations at a dose of 10 µg/kg to rats, was detected at low levels in all of the body tissues with highest tissue/plasma ratio of 0.46~0.51 for the kidney at 30 min after the administration. The pharmacokinetics of rhG-CSF, after i.v. administration to mice at a dose of 10 µg/kg, were comparable among the three formulations. In conclusion, HM10411-lyo and HM10411-liq exhibited similar pharmacokinetics for rhG-CSF with Filgrastim regardless of animal species. Considering the fact that HM10411 series, contrary to Filgrastim, are proteins lacking a methionine residue, the methionine moiety in rhG-CSF molecule does not appear to influence the pharmacokinetics of the protein significantly.

**Keywords**—HM10411, Filgrastim, Recombinant human granulocyte colony stimulating factor (rhG-CSF), Pharmacokinetics, Administration routes, Dose-dependency, Species difference

HM10411은 최근 한미약품(주) 연구소에서 대장균 발현계를 이용하여 생산한 유전자 재조합 인과립구 콜로니 자극인자(recombinant human granulocyte colony stimulating, rhG-CSF)이다. 콜로니 자극인자(CSF)는 산성의 당단백으로서 분자량은 약 20,000 daltons으로 hematopoietic progenitor cell의 생존, 분열 및 분화에 필수적인 요소이다<sup>1-4)</sup>. G-CSF는 골수 전구체 세포의 과립구 콜로니로의 분열 및 분화를 촉진시키는 인자로 확인되었다<sup>5)</sup>.

인과립구 콜로니 자극인자(hG-CSF)는 사람 방광의 carci-

noma cell line 5637로부터 처음으로 분리되었고 hG-CSF를 발현하는 유전자의 complementary DNA를 동물 세포, 효모 세포 및 박테리아 세포에서 발현시켜서 얻을 수 있다<sup>6)</sup>. 이 때 발현시킨 세포의 종류에 따라 단백질의 glycosylation이 일어나는 정도가 다른데, 대장균과 같은 박테리아 세포에서는 단백질의 glycosylation이 되지 않으므로, rhG-CSF에는 당이 없고 methionine잔기가 부가되어 있다<sup>7)</sup>. rhG-CSF는 화학요법이나 방사선 조사에 의한 과립구 감소증의 예방 및 치료를 목적으로 사용되고 있다.

본 연구에서는 기존의 rhG-CSF와는 다른 숙주-벡터계를 이용한 유전자 재조합 방법으로 제조함으로써 methionine 잔기가 없는 rhG-CSF인 HM10411를 동결 건조한 제품(HM

\*본 논문에 관한 문의는 이 저자에게로

Tel : 02)880-7873, E-mail : shimck@plaza.snu.ac.kr

10411-lyo)과 액제(HM10411-liq)에 대하여 흰쥐와 마우스에서의 약물동태 파라미터를 측정하여 기존의 rhG-CSF인 Filgrastim(methionine잔기 함유)의 경우와 비교하였다.

약물동태로는 투여경로(정맥주사, 피하주사, 근육주사) 및 투여량에 대한 혈중 및 주요 조직 중 농도를 측정하여 3제제(HM10411-lyo, HM10411-liq, Filgrastim)간의 차이유무를 검토하였다.

## 실험방법

### 동물

웅성 Sprague-Dawley 흰쥐(240~300 g의 7~8주령) 및 ICR 마우스(체중 28~32 g의 6주령)는 대한실험동물센터(주)에서 분양 받아 사용하였으며, 실험 전 1주일 동안 서울대학교 약학대학 동물실험 연구동에서 온도  $22 \pm 2^{\circ}\text{C}$ , 습도  $55 \pm 5^{\circ}\text{C}$ 로 09:00~21:00까지 조명시킨 상태에서 물과 사료를 자유롭게 섭취하도록 사육하였다. 사료는 autoclavable rodent laboratory chow 5010(Agibrands Puria Korea, Inc)를 사용하였다.

### 시약 및 재료

한미약품 연구소에서 생산한 HM10411 동결건조제품(HM10411-lyo), 액제제품(HM10411-liq)과 Filgrastim(제일약품, Korea)을 주사용 종류수에 회색하여 사용하였다. rhG-CSF의 정량에 사용한 ELISA kit(Quantikine<sup>TM</sup>)는 R&D System(Mckinley Place N.E. Minneapolis, MI, U.S.A.)으로부터, 흰쥐 실험에 사용한 polyethylene tube(PE-50)는 Clay Adams(Parsippany, NY, U.S.A.)로 부터 구입하였다.

### 흰쥐 및 마우스에의 투여 및 혈액채취

투여경로별 혈장 중 rhG-CSF 농도의 차이를 살펴보기 위하여 3 제제를 각  $10 \mu\text{g/kg}$ 의 용량으로 각각 i.v., i.m. 및 s.c.로 흰쥐 6마리씩에게 투여하였다. 용량의 존성을 관찰하기 위하여는 따로 3 제제를 5, 100  $\mu\text{g/kg}$ 의 용량으로 흰쥐 6마리에게 각각 정맥 투여하였다. 정맥투여 시는 흰쥐를 ketamine( $50 \mu\text{g/kg}$ )을 복강 주사하여 마취한 후 대퇴정맥에 polyethylene tube를 삽입하고, 흰쥐가 마취에서 완전히 회복된 후 튜브를 통하여 약물을 투입하고 생리식염수로 튜브에 남아있는 약물을 완전히 흰쥐의 정맥 속으로 주입하였다. 정맥근육 및 피하 주사시는 흰쥐의 대퇴근육 및 피하에 직접 주사하였다. 흰쥐의 대퇴 동맥에 미리 삽입한 cannula로부터 약물 투여 전 및 투여 후 5, 15, 30분 및 1, 2, 4, 6 및 8시간에 혈액  $250 \mu\text{l}$ 씩을 채혈하였고 혈액응고를 막기 위하여 20 units/ml의 heparin(생리식염수액) 용액으로 튜브에 남

아있는 혈액을 완전히 동맥 속으로 주입하였다. 마우스 실험에서는 3 제제를  $10 \mu\text{g/kg}$ 의 용량으로 꼬리 정맥 내에 투여한 후 안저(orbital plexus)로 부터 채혈하였다. 마우스 실험에서의 채혈시간 및 채혈량은 흰쥐실험에서와 같게 하였고, 채취한 혈액은 즉시  $10,000 \text{ g}$ 에서 5분간 원심분리한 후 혈장  $100 \mu\text{l}$ 를 취하여 정량시까지  $-20^{\circ}\text{C}$ 에 냉동 보관하였으며, 혈장 중 rhG-CSF의 농도는 Quantikine kit<sup>TM</sup>를 사용하여 정량하였다.

### 흰쥐에서의 조직분포

흰쥐에 3 제제를 각  $10 \mu\text{g/kg}$ 의 용량으로 카테터를 통하여 대퇴정맥에 주사한 다음 0.5, 2, 8시간에 각각 실혈 치사시켰다. 간, 폐, 신장, 비장, 심장 및 근육을 적출하여 적출한 조직무게의 4배에 해당하는 인산염 완충액(pH 7.4)을 가한 후 homogenizer(Ultra-Turrax T75, Janke & Kunkel, Germany)로 13,500 rpm 이상으로 homogenize하였다. Homogenize한 액을  $10,000 \text{ g}$ 에서 2분간 원심 분리한 후 얻은 상층액을 정량 전까지  $-20^{\circ}\text{C}$ 에 냉동 보관하였다. 정량방법은 혈장시료와 동일한 방법을 사용하였다.

### 정량법

혈장 중 rhG-CSF의 농도는 Quantikine kit<sup>TM</sup>에 포함되어 있는 매뉴얼 방법에 따라 정량하였다. 즉, Quantikine kit에 포함된 microtiter plate에 시료 즉, 혈장 상층액 또는 조직 호모지네이트상층액  $100 \mu\text{l}$  및 RD1A assay diluent  $100 \mu\text{l}$ 를 넣은 다음 2시간 동안 방치하였다. 방치후 microtiter plate내를 세척용 완충액으로 세척하고  $200 \mu\text{l}$ 의 rhG-CSF conjugate액을 넣은 다음 2시간동안 방치하였다. 다시 microtiter plate내를 세척용 완충액으로 세척하고 용시 조제한 color A 및 color B 혼합액(1:1)  $200 \mu\text{l}$ 를 넣고 20분 방치 후 stop solution  $50 \mu\text{l}$ 를 넣고  $450 \text{ nm}$ 에서 흡광도를 측정하였다. 본 정량법의 한계는  $0.02 \text{ ng/ml}$ 이었고, CV(%)는 평균 10%내외였다.

### 약물동태의 속도론적 해석

rhG-CSF의 체내동태 파라미터는 WinNonlin<sup>®</sup> 프로그램(version 1.1 Scientific Consulting Inc., Apex, NC, U.S.A.)을 사용하여 구하였다. 소실속도정수( $\beta$ )는 log 혈장농도-시간 곡선의 직선부분을 직선 회귀하여 구하였고, 시간 0에서 무한대까지 rhG-CSF의 혈장 중 농도-시간 곡선면적(AUC) 및 혈장 중 약물농도 모멘트-시간 곡선(AUMC)는 사다리꼴 공식에 의해 구하였다. 정맥주사 후 전신 클리어런스(CL), 평균 체류시간(MRT), 정상상태에서의 걸보기 분포용적( $V_{ss}$ )

및 생체이용률(F)는 다음 식에 의하여 구하였다<sup>8,9)</sup>.

$$T_{1/2\beta} = \frac{0.639}{\beta} \quad (1)$$

$$CL = \frac{\text{Dose}}{\text{AUC}} \quad (2)$$

$$MRT = \frac{\text{AUMC}}{\text{AUC}} \quad (3)$$

$$V_{ss} = CL \times MRT \quad (4)$$

$$F = \frac{\text{AUC}_{i.m.\text{or } s.c.}}{\text{AUC}_{i.v.}} \times 100 \quad (5)$$

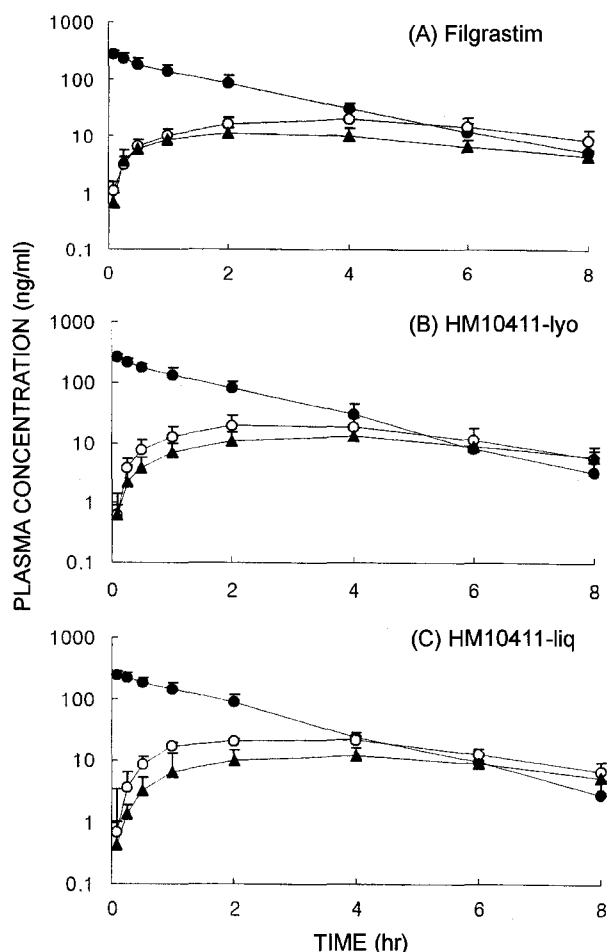
여기에서  $C_p$ 는 시간 t에서의 rhG-CSF의 혈장 농도이다.

### 통계분석

3제제로부터 얻은 체내동태 파라미터와 조직에 분포된 양은 SPSS프로그램(version 9.0, SPSS Inc., Chicago, IL, U.S.A.)을 사용하여 ANOVA로 통계처리하였으며, 유의수준은 p<0.05으로 판단하였다.

### 결과 및 고찰

3제제를 흰쥐에 정맥, 피하 및 근육 주사시 평균 혈장 농도-시간 추이는 Figure 1, 그에 해당하는 약물속도 정수는 Table I과 같았다. 3제제는 비슷한 혈장농도-시간 추이를 보였으며, 따라서 약물동태 파라미터도 비슷하였다. 피하 및 근육 주사시 혈장농도는 신속히 증가하여 2시간에 최고혈장농도에 도달하였고, 이후 정맥 투여에 비해 서서히 감소하였다. Filgrastim, HM10411-lyo와 HM10411-liq의 생체이용률은 피하 주사시 각각 31.1, 29.7, 32.6%이었고, 근육 주사시 각각 18.6, 23.0, 21.1%로 이것은 Filgrastim에 대하여 이미



**Figure 1**-Mean ( $\pm$  standard deviation, n = 6) arterial plasma concentration of rhG-CSF from Filgrastim (A), HM10411-lyo (B) and HM10411-liq (C) after intravenous (●), subcutaneous (○) and intramuscular (▲) administration of 10  $\mu$ g/kg to rats.

보고된 결과 즉, 27.4%, 50.9~70.4%와 유사하였다<sup>10-16)</sup>. 제제의 종류에 관계없이 피하 및 근육 주사시의 생체이용률이 적게 나타난 이유는 rhG-CSF가 근육 또는, 피하 주사 부위

**Table I**-Mean ( $\pm$  standard deviation, n=6) Pharmacokinetic Parameters of rhG-CSF from Filgrastim, HM10411-lyo and HM10411-liq after Intravenous, Subcutaneous and iNtramuscular Administration of a rhG-CSF Dose of 10  $\mu$ g/kg to Rats

Route		AUC (ng·hr/ml)	MRT (hr)	CL (ml/hr/kg)	V <sub>ss</sub> (ml/kg)	Terminal t <sub>1/2</sub>
i.v.	Filgrastim	485 $\pm$ 126	2.10 $\pm$ 0.393	22.7 $\pm$ 6.70	45.2 $\pm$ 18.3	1.59 $\pm$ 0.466
	HM10411-lyo	465 $\pm$ 112	1.75 $\pm$ 0.306	22.7 $\pm$ 6.03	38.6 $\pm$ 5.56	1.39 $\pm$ 0.452
	HM10411-liq	473 $\pm$ 103	1.79 $\pm$ 0.329	24.8 $\pm$ 9.70	40.8 $\pm$ 17.6	1.37 $\pm$ 0.655
s.c.	Filgrastim	151 $\pm$ 62.7	6.15 $\pm$ 0.95	-	-	2.98 $\pm$ 0.64
	HM10411-lyo	138 $\pm$ 38.5	5.74 $\pm$ 2.51	-	-	2.97 $\pm$ 1.71
	HM10411-liq	154 $\pm$ 28.8	5.47 $\pm$ 1.92	-	-	2.83 $\pm$ 1.63
i.m.	Filgrastim	90.3 $\pm$ 19.1	6.56 $\pm$ 1.25	-	-	3.88 $\pm$ 1.03
	HM10411-lyo	107 $\pm$ 32.4	7.33 $\pm$ 2.71	-	-	3.98 $\pm$ 2.09
	HM10411-liq	100 $\pm$ 22.5	7.33 $\pm$ 2.31	-	-	3.82 $\pm$ 1.64

No significant differences in pharmacokinetics parameters were found for each administration route among three rhG-CSF preparations (p>0.05).

의 protease에 의해 분해되기 때문이라고 생각된다<sup>7)</sup>.

3제제를 흰쥐에 5, 10, 100 µg/kg의 용량으로 정맥 투여하였을 때의 평균 혈장 농도-시간 추이를 Figure 2에 나타냈고, 그에 해당하는 약물속도 정수는 Table II에 나타내었다. 3제제 간에 용량에 따른 약물동태 파라미터(AUC, MRT, CL, V<sub>ss</sub>, Terminal t<sub>1/2</sub>)에는 유의적인 차이가 없었다. 문헌을 살펴보면, rhG-CSF 1, 5, 10 및 100 µg/kg을 흰쥐에 정맥 투여하였을 때 t<sub>1/2</sub>는 용량의존성을, V<sub>ss</sub>는 용량 비의존성을 나타낸다고 보고된 바도 있고<sup>12)</sup>, 모든 약물동태 파라미터가 용량 비의존적으로 나타난다고 보고된 바도 있다<sup>10,17)</sup>. 본 연구에서는 3제제의 체내동태는 5~100 µg/kg 용량범위에서 모두 용량 비의존적이었다.

3제제를 흰쥐에 10 µg/kg의 용량으로 정맥 투여하였을 때 조직분포 결과는 Table III과 같다. 조직 중 농도는 실험한 모든 조직에서 3제제 간의 차이 없이 투여 후 30분에서 2시간 및 8시간에 비해 최고치를 나타냈으며, 이후 신속히 감소하였다. 모든 조직에서 조직/혈장 중 농도(T/P)비는 1보다 작게 나타났는데, 이는 rhG-CSF의 조직친화력이 약하다는 것을 나타내며, 이는 Filgrastim과 HM10411의 V<sub>ss</sub>값이 적게 나타난 결과(Table II)와도 일치한다. Filgrastim, HM10411-lyo, HM10411-liq 투여 30분 후 신장에서의 T/P비는 0.464, 0.499, 0.509으로 모든 조직 중 신장에서의 T/P값이 가장 커졌는데, 이는 rhG-CSF가 신장의 사구체에서 여과되고 신세뇨관에서 재흡수되는 사실로 미루어 타당하다고 생각된다<sup>18)</sup>. <sup>125</sup>I-rhG-CSF 10 µg/kg을 흰쥐에 투여한 후, 0.5 및 2시간에 갑상선 및 신장에서의 총 <sup>125</sup>I의 농도가 혈청보다 높다는 보고가 있었는데<sup>19)</sup>, 신장에서 높은 농도가 관찰된 것은 본 실험과 일치하였고, 다만 본 실험에서 취하지 않은 갑상선에서의 농도가 높게 나타난 것은 방사성 요오드로 표지된 rhG-CSF를 투여하였기 때문이라 생각된다.

3제제를 마우스에 10 µg/kg의 용량으로 정맥 투여하였을 경우 평균 혈장 농도-시간 추이(A)를 흰쥐에 10 µg/kg 정맥 투여하였을 때의 평균 혈장 농도-시간 추이(B)와 함께

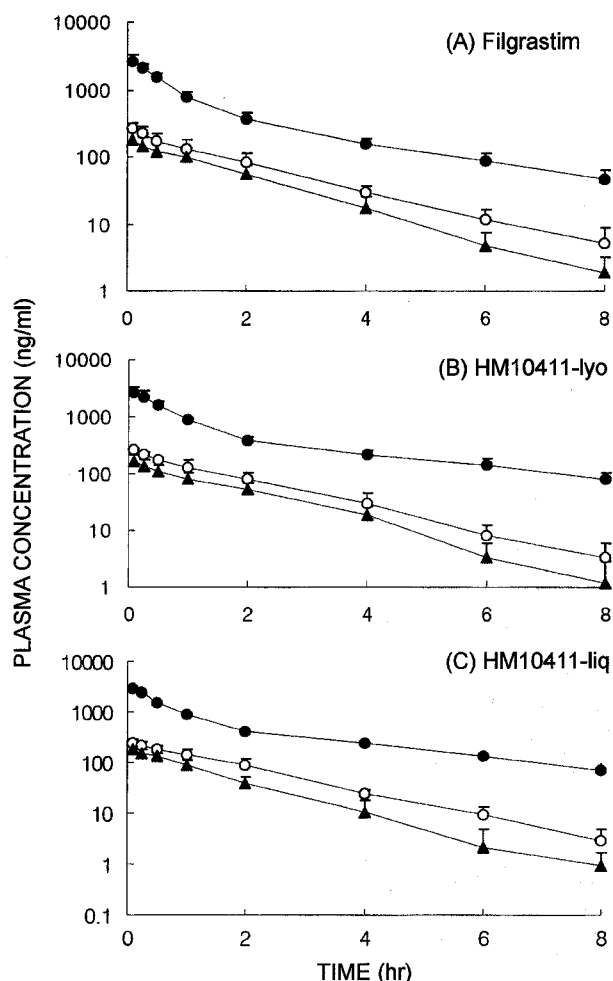


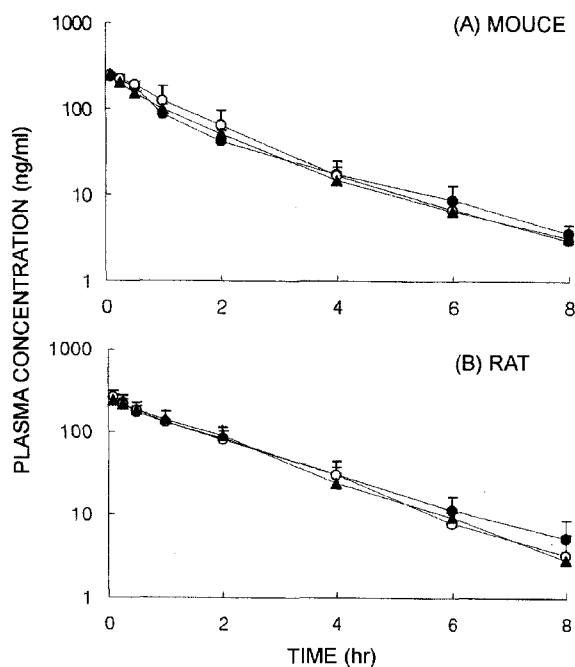
Figure 2-Mean ( $\pm$  standard deviation, n = 6) arterial plasma concentration of rhG-CSF from Filgrastim (A), HM10411-lyo (B) and HM10411-liq (C) after intravenous administration of 5 ( $\blacktriangle$ ), 10 ( $\circ$ ) and 100 ( $\blacktriangle$ )  $\mu$ g/kg to rats.

Figure 3에 나타내었고, 그에 해당하는 약물속도 정수는 Table IV에 나타내었다. 마우스에서도 흰쥐에서와 마찬가지로 3제제 간의 평균 혈장농도-시간추이는 비슷한 양상을 나타냈으며, 따라서 3제제 간의 약물동태 파라미터의 차이는

Table II-Mean ( $\pm$  standard deviation, n=6) Pharmacokinetic Parameters of rhG-CSF from Filgrastim, HM10411-lyo and HM10411-liq After Intravenous Administration to Rats at rhG-CSF Dose of 5 and 100 µg/kg

Dose ( $\mu$ g/kg)		AUC (ng·hr/ml)	MRT (hr)	CL (ml/hr/kg)	V <sub>ss</sub> (ml/kg)	Terminal t <sub>1/2</sub>
5	Filgrastim	294 $\pm$ 110	1.77 $\pm$ 0.28	18.7 $\pm$ 5.70	33.1 $\pm$ 12.1	1.24 $\pm$ 0.203
	HM10411-lyo	257 $\pm$ 40.0	1.82 $\pm$ 0.716	19.8 $\pm$ 3.00	37.5 $\pm$ 20.9	1.31 $\pm$ 0.580
	HM10411-liq	252 $\pm$ 55.2	1.34 $\pm$ 0.326	20.7 $\pm$ 4.90	26.9 $\pm$ 4.10	0.986 $\pm$ 0.196
100	Filgrastim	3306 $\pm$ 386	2.23 $\pm$ 0.855	30.5 $\pm$ 3.09	68.3 $\pm$ 28.5	2.57 $\pm$ 1.28
	HM10411-lyo	3863 $\pm$ 382	3.13 $\pm$ 0.680	27.1 $\pm$ 2.00	76.0 $\pm$ 11.8	3.13 $\pm$ 0.680
	HM10411-liq	3746 $\pm$ 222	2.63 $\pm$ 0.546	26.8 $\pm$ 1.50	69.0 $\pm$ 9.90	2.64 $\pm$ 0.546

No significant differences in pharmacokinetic parameters were found among three rhG-CSF preparations at the given doses (p>0.05)



**Figure 3**–Mean ( $\pm$  standard deviation,  $n = 6$ ) plasma concentration obtained from orbital plexus of rhG-CSF from Filgrastim (●), HM10411-lyo (○) and HM10411-liq (▲) after intravenous administration of 10  $\mu\text{g}/\text{kg}$  to mice (A) and rats (B).

**Table III**–Mean ( $\pm$  standard deviation,  $n=5$ ) Amount (ng/g tissue) of rhG-CSF from Filgrastim, HM10411-lyo and HM10411-liq Remaining in Each Tissue After Intravenous Administration of 10  $\mu\text{g}/\text{kg}$  to Rats. The Numbers in Parenthesis Represent Tissue to Plasma Ratio.

Time	Tissue	Filgrastim	HM10411-lyo	HM10411-liq
30min	Liver	10.9 $\pm$ 1.61 (0.08 $\pm$ 0.01)	11.0 $\pm$ 2.27 (0.07 $\pm$ 0.02)	10.5 $\pm$ 2.27 (0.06 $\pm$ 0.01)
	Lung	24.6 $\pm$ 5.83 (0.17 $\pm$ 0.04)	23.2 $\pm$ 3.19 (0.14 $\pm$ 0.02)	25.5 $\pm$ 5.21 (0.16 $\pm$ 0.03)
	Heart	16.3 $\pm$ 1.39 (0.11 $\pm$ 0.01)	15.8 $\pm$ 2.94 (0.09 $\pm$ 0.02)	15.6 $\pm$ 7.09 (0.09 $\pm$ 0.04)
	Kidney	65.9 $\pm$ 7.84 (0.46 $\pm$ 0.05)	81.2 $\pm$ 9.61 (0.49 $\pm$ 0.06)	80.8 $\pm$ 8.57 (0.50 $\pm$ 0.00)
	Spleen	11.1 $\pm$ 2.55 (0.07 $\pm$ 0.02)	12.2 $\pm$ 0.743 (0.07 $\pm$ 0.00)	15.3 $\pm$ 3.65 (0.09 $\pm$ 0.02)
	Muscle	1.79 $\pm$ 0.65 (0.01 $\pm$ 0.00)	1.51 $\pm$ 0.438 (0.01 $\pm$ 0.00)	2.15 $\pm$ 0.753 (0.01 $\pm$ 0.00)
	Plasma	175 $\pm$ 51.2	182 $\pm$ 20.4	182 $\pm$ 36.8
2hr	Liver	4.45 $\pm$ 2.09 (0.03 $\pm$ 0.01)	2.88 $\pm$ 0.98 (0.02 $\pm$ 0.00)	3.74 $\pm$ 0.38 (0.02 $\pm$ 0.00)
	Lung	10.3 $\pm$ 2.38 (0.07 $\pm$ 0.02)	10.2 $\pm$ 3.04 (0.08 $\pm$ 0.02)	5.71 $\pm$ 1.37 (0.06 $\pm$ 0.01)
	Heart	7.38 $\pm$ 2.74 (0.05 $\pm$ 0.02)	5.64 $\pm$ 1.39 (0.04 $\pm$ 0.01)	3.45 $\pm$ 1.37 (0.03 $\pm$ 0.01)
	Kidney	34.4 $\pm$ 4.63 (0.23 $\pm$ 0.03)	34.1 $\pm$ 16.7 (0.27 $\pm$ 0.13)	22.6 $\pm$ 16.3 (0.25 $\pm$ 0.11)
	Spleen	2.35 $\pm$ 0.244 (0.02 $\pm$ 0.00)	2.14 $\pm$ 0.61 (0.01 $\pm$ 0.00)	1.75 $\pm$ 0.89 (0.01 $\pm$ 0.00)
	Muscle	2.89 $\pm$ 1.32 (0.02 $\pm$ 0.01)	2.12 $\pm$ 1.40 (0.01 $\pm$ 0.01)	1.96 $\pm$ 0.83 (0.02 $\pm$ 0.00)
	Plasma	84.3 $\pm$ 31.2	80.4 $\pm$ 24.1	89.2 $\pm$ 28.9
8hr	Liver	1.47 $\pm$ 0.45 (0.03 $\pm$ 0.01)	1.06 $\pm$ 0.474 (0.06 $\pm$ 0.02)	0.68 $\pm$ 0.18 (0.06 $\pm$ 0.01)
	Lung	3.12 $\pm$ 0.53 (0.07 $\pm$ 0.13)	1.61 $\pm$ 0.68 (0.09 $\pm$ 0.04)	1.26 $\pm$ 0.36 (0.11 $\pm$ 0.03)
	Heart	6.98 $\pm$ 1.36 (0.17 $\pm$ 0.03)	6.27 $\pm$ 2.18 (0.37 $\pm$ 0.13)	4.63 $\pm$ 1.88 (0.43 $\pm$ 0.17)
	Kidney	4.98 $\pm$ 2.10 (0.12 $\pm$ 0.05)	3.40 $\pm$ 1.25 (0.20 $\pm$ 0.07)	2.11 $\pm$ 0.90 (0.19 $\pm$ 0.08)
	Spleen	1.64 $\pm$ 0.50 (0.04 $\pm$ 0.01)	1.28 $\pm$ 0.28 (0.07 $\pm$ 0.01)	0.76 $\pm$ 0.35 (0.07 $\pm$ 0.03)
	Muscle	1.40 $\pm$ 0.60 (0.03 $\pm$ 0.01)	0.83 $\pm$ 0.45 (0.04 $\pm$ 0.02)	0.59 $\pm$ 0.25 (0.05 $\pm$ 0.02)
	Plasma	5.3 $\pm$ 3.4	3.2 $\pm$ 2.5	2.8 $\pm$ 1.9

No significant differences in tissue amount of rhG-CSF were found among three rhG-CSF preparations at the given time points ( $p > 0.05$ ).

없었다. 즉, 이 rhG-CSF는 흰쥐와 마우스간에 종차를 보이지 않았다.

## 결 론

한미약품에서 개발한 HM10411-lyo, HM10411-liq을 기준 제품인 Filgrastim과 약물동태를 비교하였을 때, 흰쥐에 10  $\mu\text{g}/\text{kg}$ 을 정맥, 피하 및 근육 주사시 약물동태 파라미터와 생체이용률에 있어서 3제제 간에 차이는 없었고, 5, 10, 100  $\mu\text{g}/\text{kg}$  정맥투여 시 용량의존성도 없었으며, 3제제 간 차이도 없었다. 그리고, 10  $\mu\text{g}/\text{kg}$  정맥투여 시 조직분포도 3제제가 비슷한 양상을 보였으며, 신장에 제일 많이 분포하였다. 또한 3제제를 마우스에게 10  $\mu\text{g}/\text{kg}$  정맥 투여하였을 때도 흰쥐에 투여하였을 때와 혈장농도-시간추이는 비슷하였으며, 3제제 간의 차이도 없었다. 따라서 한미약품(주) 연구소에서 제조한 HM10411-lyo와 HM10411-liq는 Filgrastim과 약물동태가 비슷하다고 결론 지을 수 있었다. Filgrastim과 달리 HM10411-lyo와 HM10411-liq에는 methionine잔기나 없다는 점을 고려할 때 methionine잔기는 rhG-CSF의 체내동태에 영향을 미치지 않은 것으로 생각되었다.

**Table IV-Mean ( $\pm$  standard deviation, n=6) Pharmacokinetic Parameters of rhG-CSF from Filgrastim, HM10411-lyo and HM10411-liq After Intravenous Administration at a rhG-CSF Dose of 10  $\mu$ g/kg to Mice**

Animal		AUC (ng·hr/ml)	MRT (hr)	CL (ml/hr/kg)	V <sub>ss</sub> (ml/kg)	Terminal t <sub>1/2</sub>
Mice <sup>a</sup>	Filgrastim	341 $\pm$ 68.9	1.91 $\pm$ 0.33	30.3 $\pm$ 5.50	57.8 $\pm$ 13.5	2.14 $\pm$ 0.61
	HM10411-lyo	381 $\pm$ 89.7	1.78 $\pm$ 0.31	27.9 $\pm$ 8.64	51.9 $\pm$ 26.7	2.67 $\pm$ 1.55
	HM10411-liq	385 $\pm$ 118	1.97 $\pm$ 0.73	29.2 $\pm$ 13.0	57.1 $\pm$ 30.1	2.62 $\pm$ 1.75

<sup>a</sup>Mice were sacrificed at each blood sampling time. No significant differences were found among three rhG-CSF preparations in mice

## 감사의 말씀

이 연구는 한미약품공업주식회사의 연구비 지원에 의하여 서울대학교 종합약학 연구소에서 수행되었으며, 이에 감사 드린다.

## 문 헌

- 1) A.W. Burgess, and D. Metcalf, The nature and action of granulocyte-macrophage colony stimulating factors, *Blood*, **56**, 947-958 (1980).
- 2) D. Metcalf, *The hematopoietic colony stimulating factors*, Elsevier, Amsterdam. The Netherlands, pp.1-10 (1984).
- 3) C.G. Begley, D. Metcalf, A.F. Lopez, and N.A. Nicola, Fractionate populations of normal human marrow cells respond to both human colony-stimulating factors with granulocyte-macrophage activity, *Exp. Hematol.*, **13**, 956-962 (1985).
- 4) D. Metcalf, The molecular biology and function of the granulocyte-macrophage colony-stimulating factors, *Blood*, **67**, 257-267 (1986).
- 5) N. A. Nicola, D. Metcalf, M. Matsumoto and G. R. John, Purification of factor inducing differentiation in murine myelomimocytic leukemia cells: identification as a granulocyte colony-stimulating factors (G-CSF), *J. Biol. Chem.*, **258**, 9017-9023 (1983).
- 6) L. M. Souza, T. C. Boone, J. Gabrilove, P. H. Lai, K. M. Zsebo, D. C. Murdock, V. R. Chazin, J. Bruszewski, H. Lu, KK. K. Chen, J. Barendt, E. Platzer, M. A. S. Moore, R. Mertelsmann, and K. Welte, Recombinant human granulocyte colony stimulating factor after intravenous and subcutaneous administration in the rat, *J. Pharmacol. Exp. Ther.*, **251**, 1199-1203 (1986).
- 7) W. P. Petros, Pharmacokinetics and administration of colony-stimulating factors, *Pharmacotherapy*, **12**, 33S-38S (1992).
- 8) M. Gibaldi, and D. Perrier, *Pharmacokinetics*, 2<sup>nd</sup> Edn., Marcel-Dekker, New York, U.S.A., pp.145-354 (1982).
- 9) E. J. Yoon, , H. W. Jang, M. G. Lee, H. -J. Lee, M. K. Park, and C-K. Kim, Pharmacokinetics of methotrexate-rabbit serum albumin conjugate to rabbits, *Int. J. Pharm.*, **67**, 174-184 (1992).

- 10) M. Machida, K. Sano, M. Arakawa, M. Hayashi and S. Awazu, Absorption of recombinant human granulocyte colony-stimulating factor (rhG-CSF) from rat nasal mucosa, *Pharm. Res.*, **10**, 1372-1377 (1993).
- 11) H. Tanaka, Y. Okada, M. Kawagishi, and T. Tokiwa, Pharmacokinetics and pharmacodynamics of recombinant human granulocyte colony-stimulating factor after intravenous and subcutaneous administration in the rat, *J. Pharmacol. Exp. Ther.*, **251**, 1199-1203 (1989).
- 12) H. Tanaka and T. Tokiwa, Pharmacokinetics of recombinant human granulocyte colony-stimulating factor studied in the rat by a sandwich enzyme-linked immunosorbent assay, *J. Pharmacol. Exp. Ther.*, **255**, 724-729 (1990).
- 13) H. Tanaka, and T. Kaneko, Pharmacokinetics of recombinant human granulocyte colony-stimulating factor in the rat: Single and multiple dosing studies, *Drug. Metab. Dispos.*, **19**, 200-204 (1991).
- 14) H. Tanaka, and T. Kaneko, Sex differences in the pharmacokinetics of recombinant human granulocyte colony-stimulating factor in the rat, *Drug Metab. Dispos.*, **19**, 1034-1039 (1991).
- 15) H. Tanaka, and T. Kaneko, Pharmacokinetic and pharmacodynamic comparisons between human granulocyte colony-stimulating factor purified from human bladder carcinoma cell line 5637 culture medium and recombinant human granulocyte colony-stimulating factor produced in Escherichia coli, *J. Pharmacol. Exp. Ther.*, **262**, 439-444 (1992).
- 16) H. Tanaka, and T. Kaneko, Development of a competitive radioimmunoassay and a sandwich enzyme-linked immunosorbent assay for recombinant human granulocyte colony-stimulating factor. Application to a pharmacokinetic study in rats, *J. Pharmacobio-Dyn.*, **15**, 359-366 (1992).
- 17) M. Machida, M. Hayashi and S. Awazu, Pulmonary absorption of recombinant human granulocyte colony-stimulating factor (rhG-CSF) after intratracheal administration to rats, *Biol. Pharm. Bull.*, **19**, 259-262 (1996).
- 18) T. Maack, V. Johnson, S. T. Kau, J. Figueiredo and D. Sigulem, Renal filtration, transport, and metabolism of low-molecular weight protein: A review, *Kidney Int.*, **16**, 251-270 (1979).
- 19) H. Kinoshita, T. Ichihara, , J. Amano, N. Ohishi, and A. Okazaki, Metabolic fate of rG-CSF(3) : Tissue distribution of <sup>125</sup>I-G-CSF in rats, *Jpn. Pharmacol. Ther.* **18**/suppl. 9, 459-469 (1990).